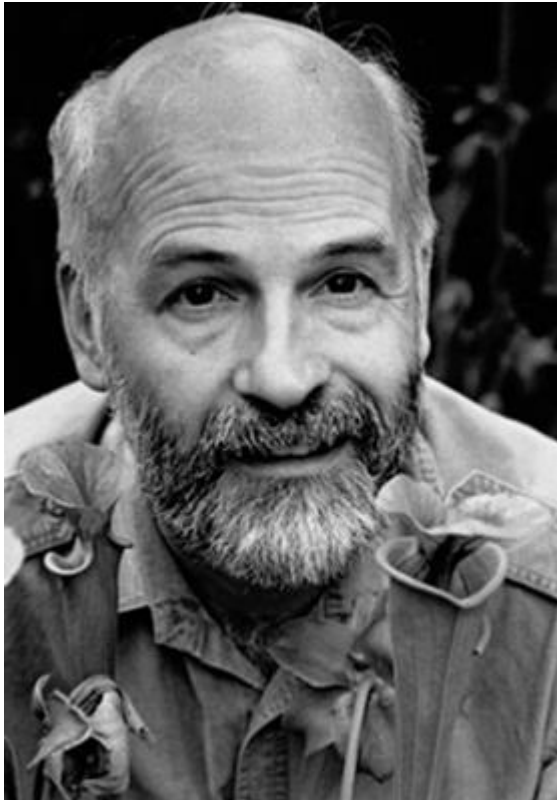


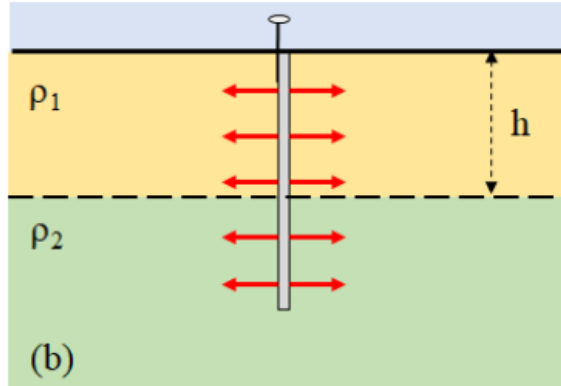
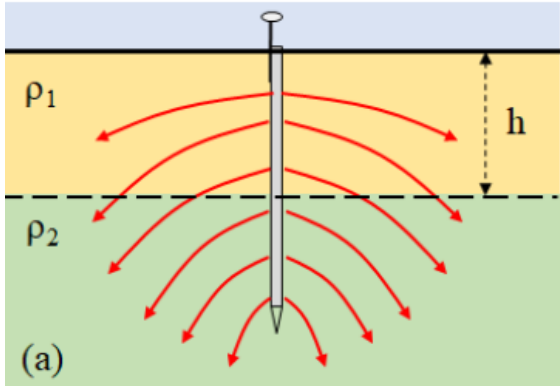
Экспериментальное
исследование частотно-
зависимых характеристик
систем заземления в
декаметровом диапазоне
длин волн



Терри Пратчетт
(Тéренс Дéвид Джон
Прáтчетт)
28 апреля 1948 –
12 марта 2015

ПЕРЕД ТЕМ КАК ЧЕЛОВЕК УМРЕТ, ВСЯ ЖИЗНЬ
ДЕЙСТВИТЕЛЬНО ПРОХОДИТ У НЕГО ПЕРЕД
ГЛАЗАМИ. СОБСТВЕННО, ЭТОТ ПРОЦЕСС И
НАЗЫВАЕТСЯ "ЖИЗНЬЮ".

(«Последний континент» 1998 г.)



$$Z_0 = \frac{\ln(8l/d)-1}{2\pi} \sqrt{\frac{j\omega\mu_0/\sigma}{(1+j\omega\varepsilon_0\varepsilon')/\sigma}},$$

$$\gamma = \sqrt{j\omega\mu_0(\sigma + j\omega\varepsilon_0\varepsilon')}$$

$$Z = Z_0 \operatorname{cth}(\gamma l)$$

Figure 2. Current density along the length of a rod in a two-layer soil: (a) real situation and (b) the situation where the influence of a layer in other is suppressed for the current density distribution – adapted from [6].

$$Z_{N-i} = Z_{0_{N-i}} \frac{Z_{N-i+1} + Z_{0_{N-i}} \tanh (\gamma_{N-i} h_{N-i})}{Z_{0_{N-i}} + Z_{N-i+1} \tanh (\gamma_{N-i} h_{N-i})}$$

Grcev L., Cooray V. High-frequency grounding // Lightning Protection. – IET, 2010. – pp. 503-529.

Caetano C.E.F. A Simplified Method for Calculating the Impedance of Vertical Grounding Electrodes Buried in a Horizontally Stratified Multilayer Ground / Batista R., Paulino J.O.S., Boaventura W.C., ILopes. J.S. and Cardoso E.N.// 2018 34th International Conference on Lightning Protection (ICLP), Rzeszow, Poland, 2018, pp. 1-7, doi: 10.1109/ICLP.2018.8503460.

Anggoro B. et al. Grounding impedance characteristics for two-layer soil of vertical rod configuration with variation of length and diameter //International Journal on Electrical Engineering and Informatics. – 2018. – T. 10. – №. 4. – C. 799-815. DOI:
10.15676/ijeei.2018.10.4.12

P. Llovera, J. A. LLiso, V. Fuster and A. Quijano, "Improved Methodology for High-Frequency Low-Current Measurement of Grounding Rod Impedance," in *IEEE Transactions on Power Delivery*, vol. 23, no. 4, pp. 1954-1960, Oct. 2008, doi: 10.1109/TPWRS.2008.923812

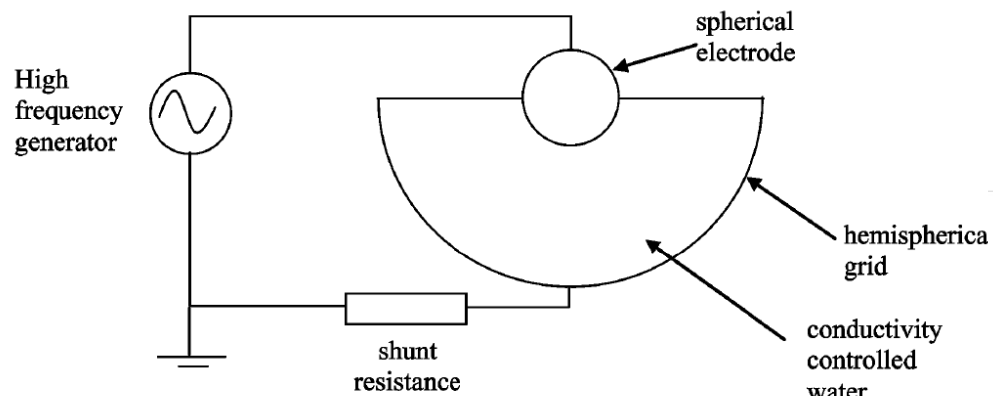


Fig. 6. Experimental setup for small-scale spherical measurements of grounding impedance.

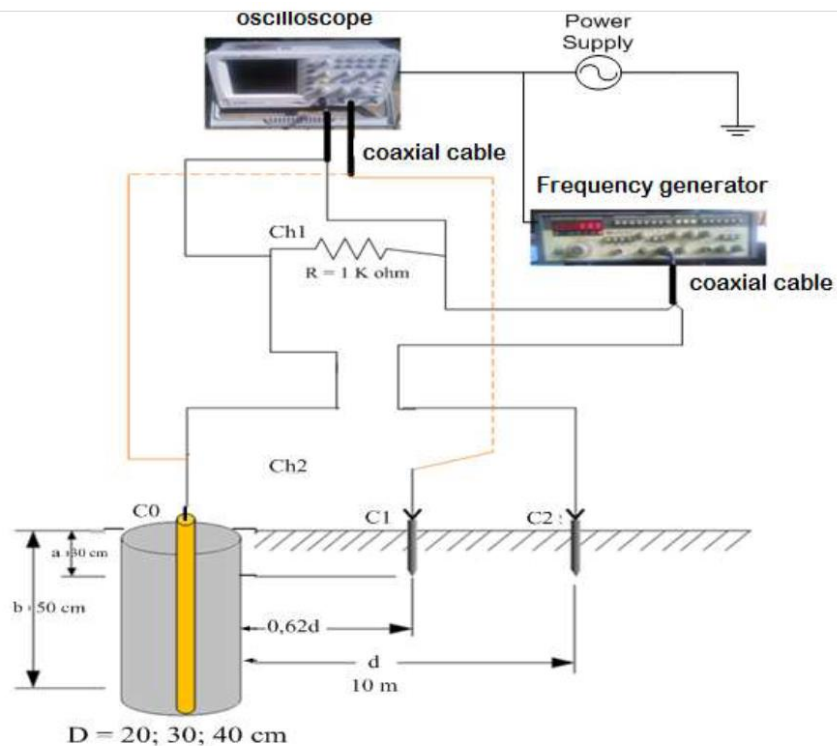
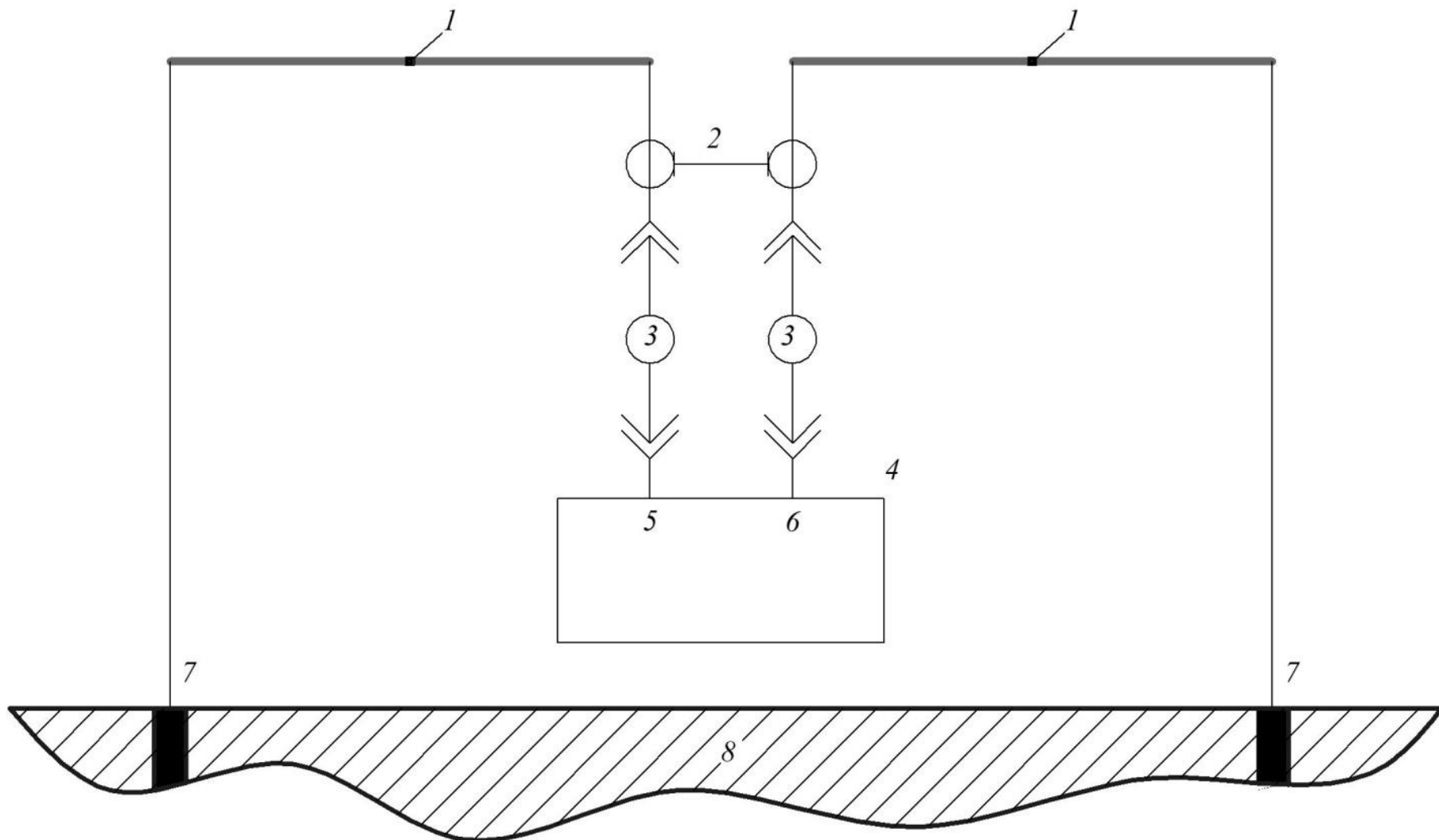
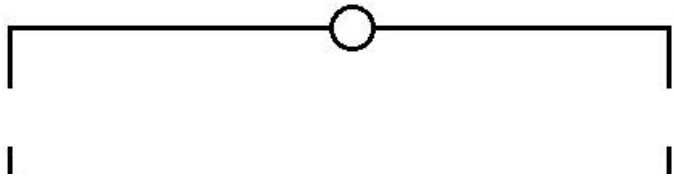
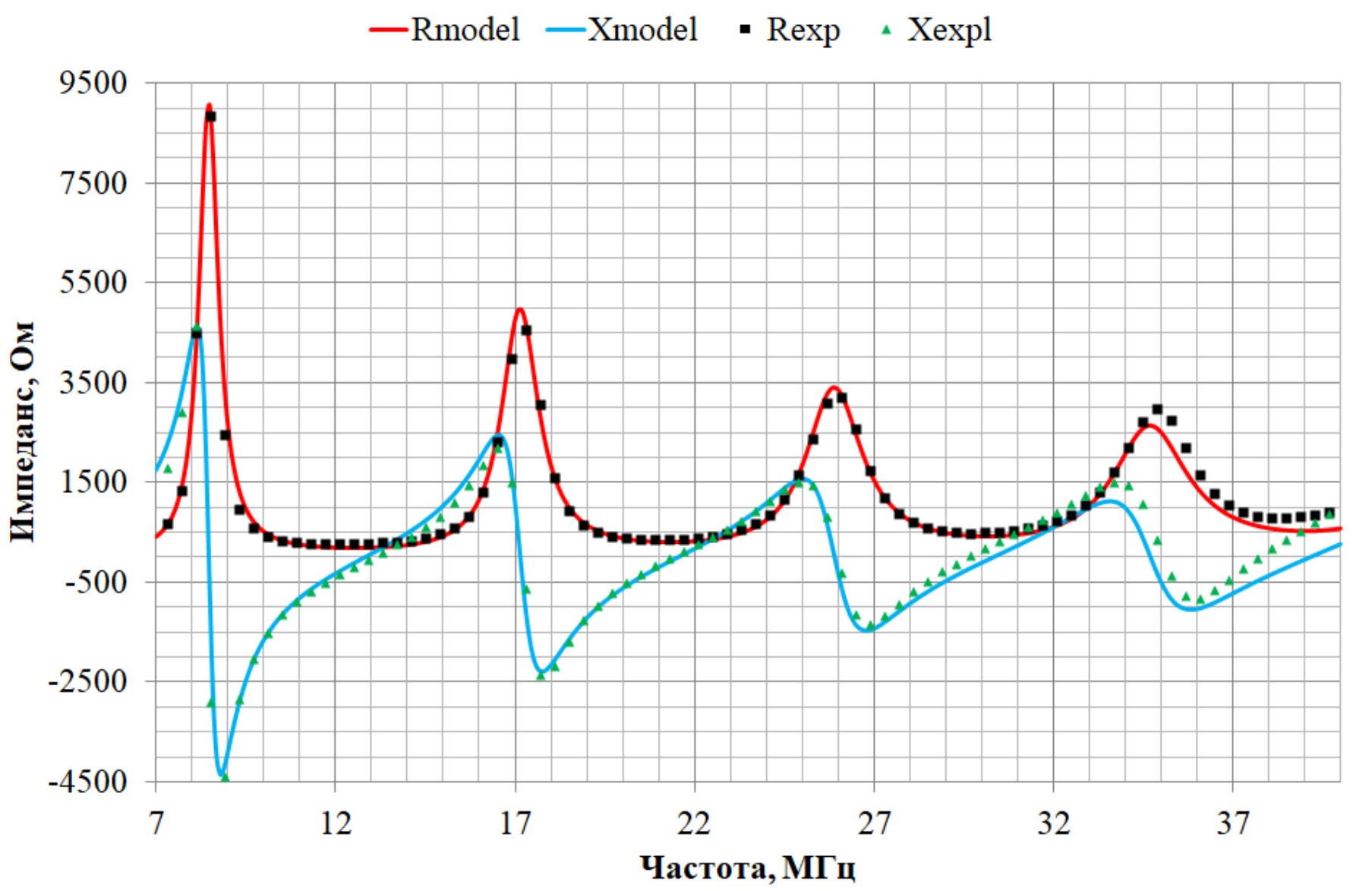


Figure 5. Measurement System of Impedance Grounding System

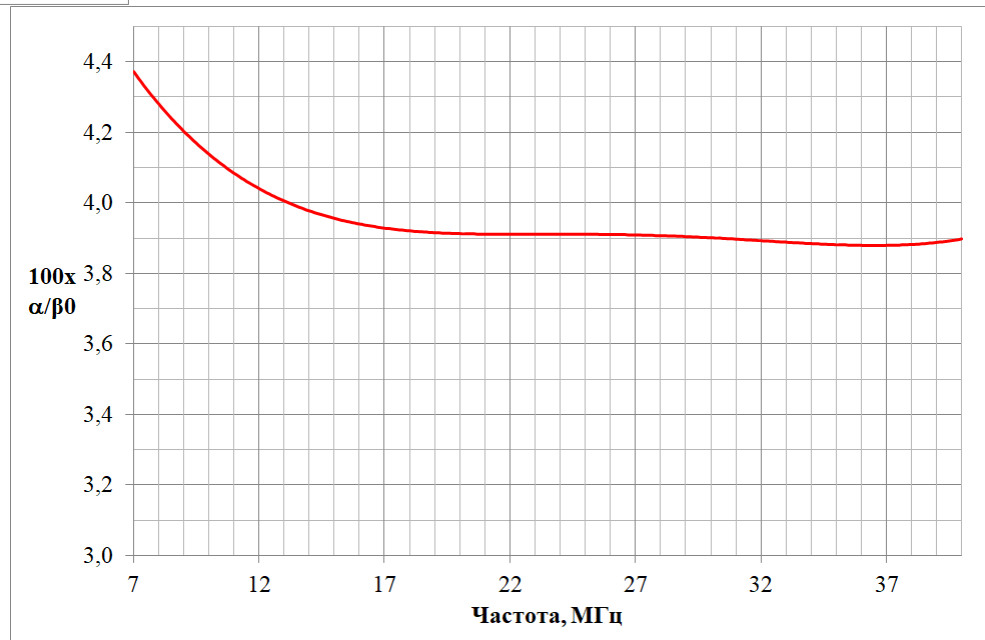
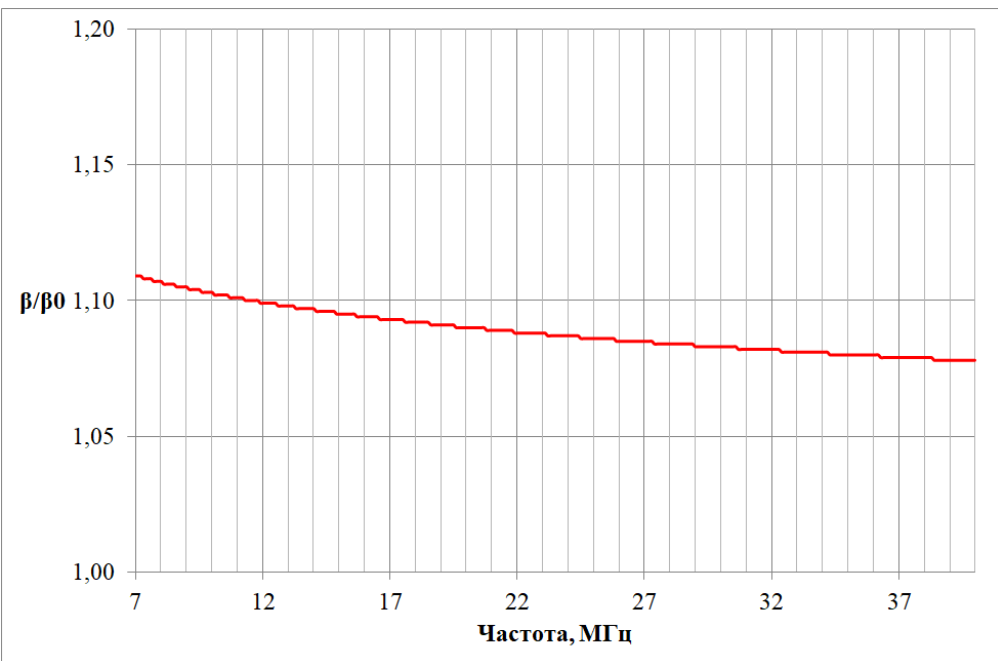


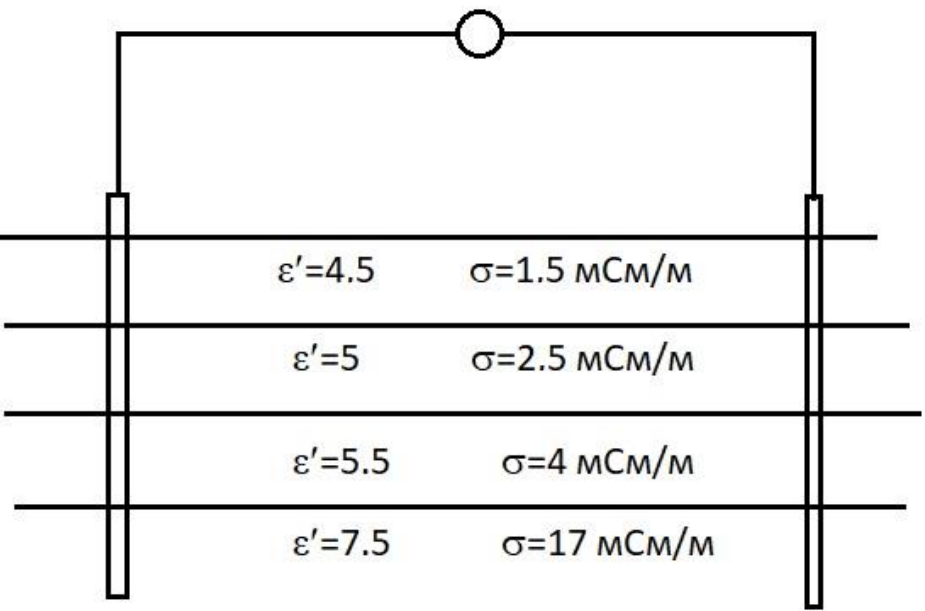


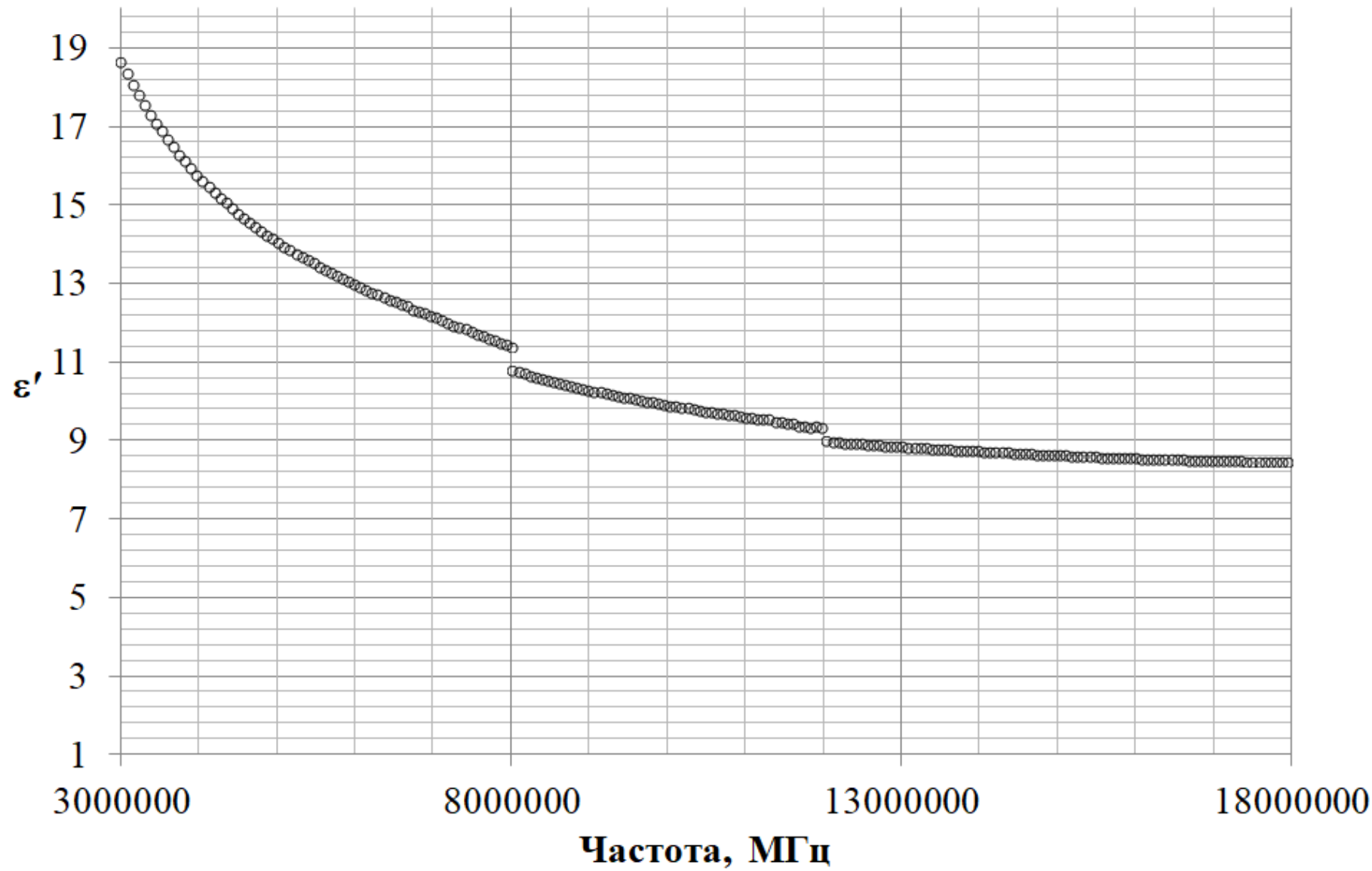


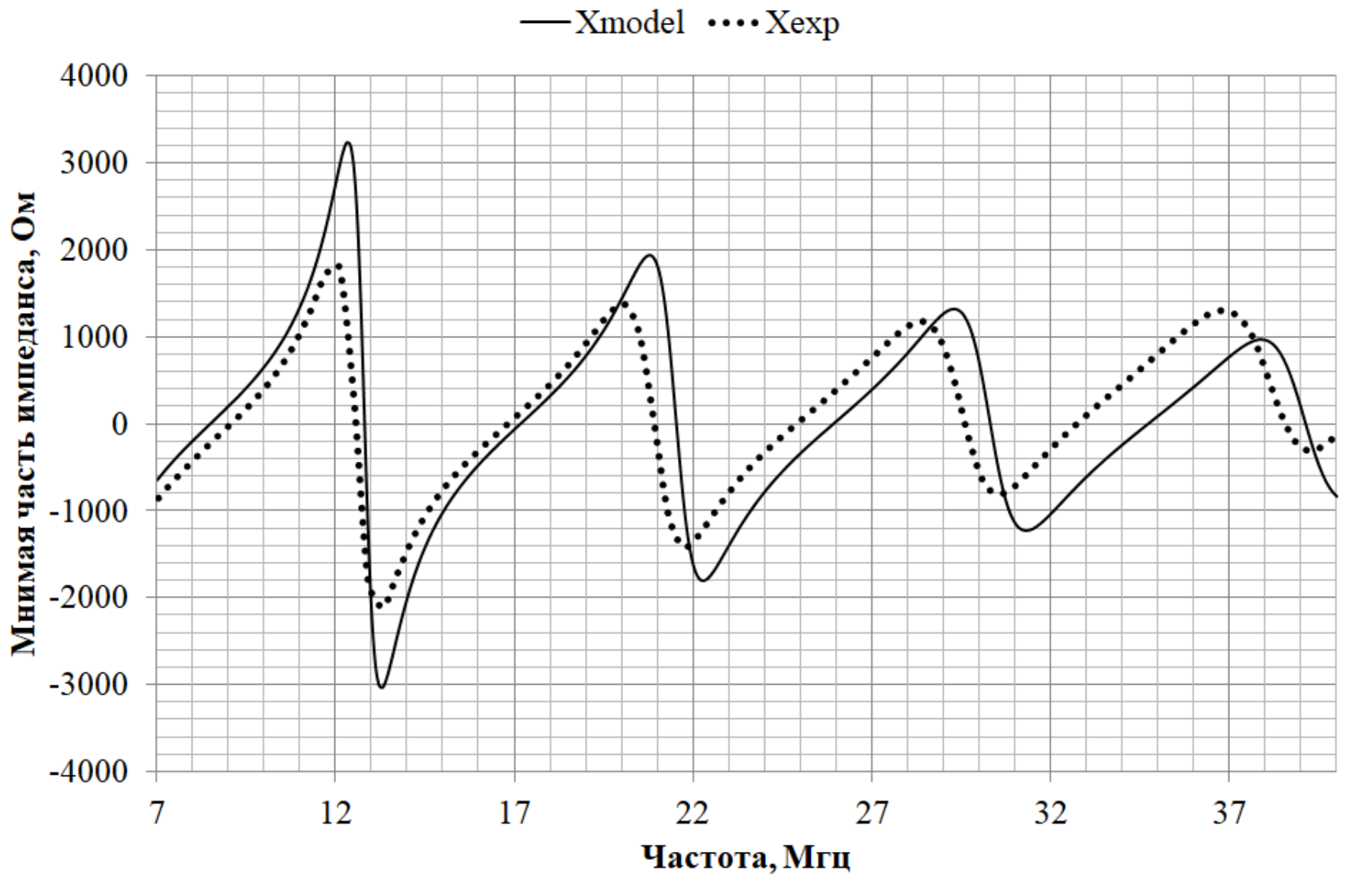
$$Z = W \operatorname{cth}(\gamma l)$$

$$l = 0.75 \text{ м}$$

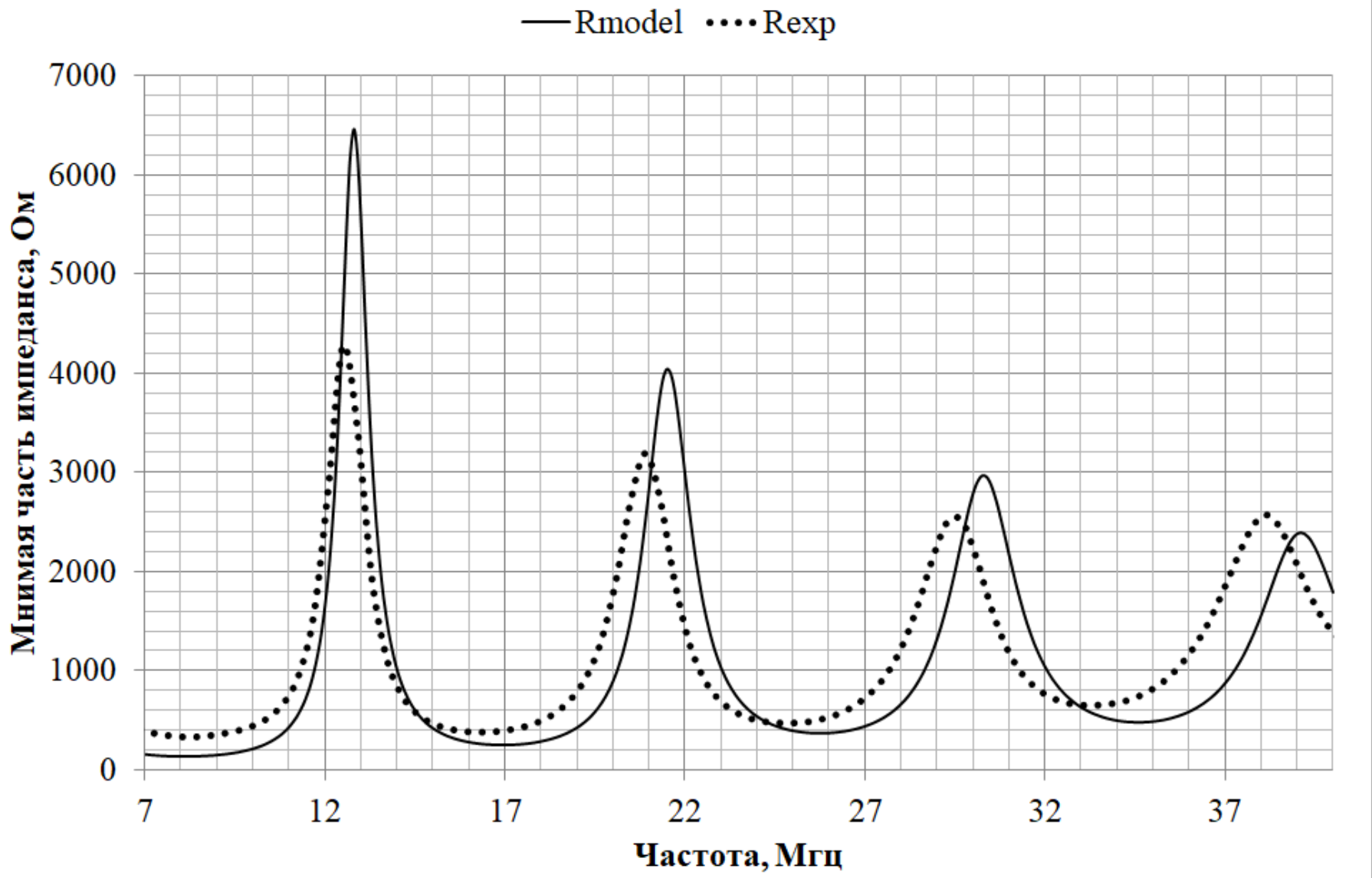




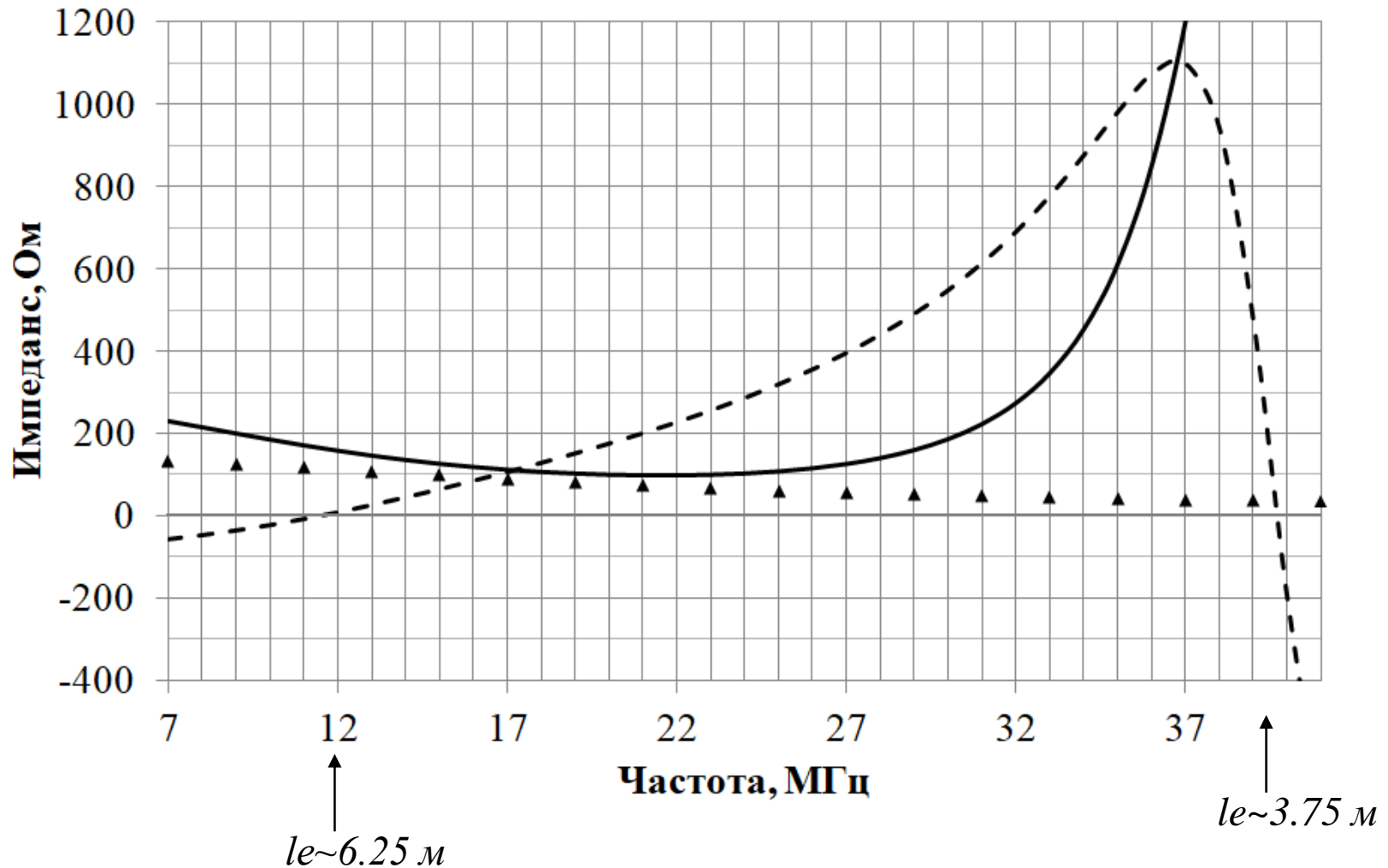


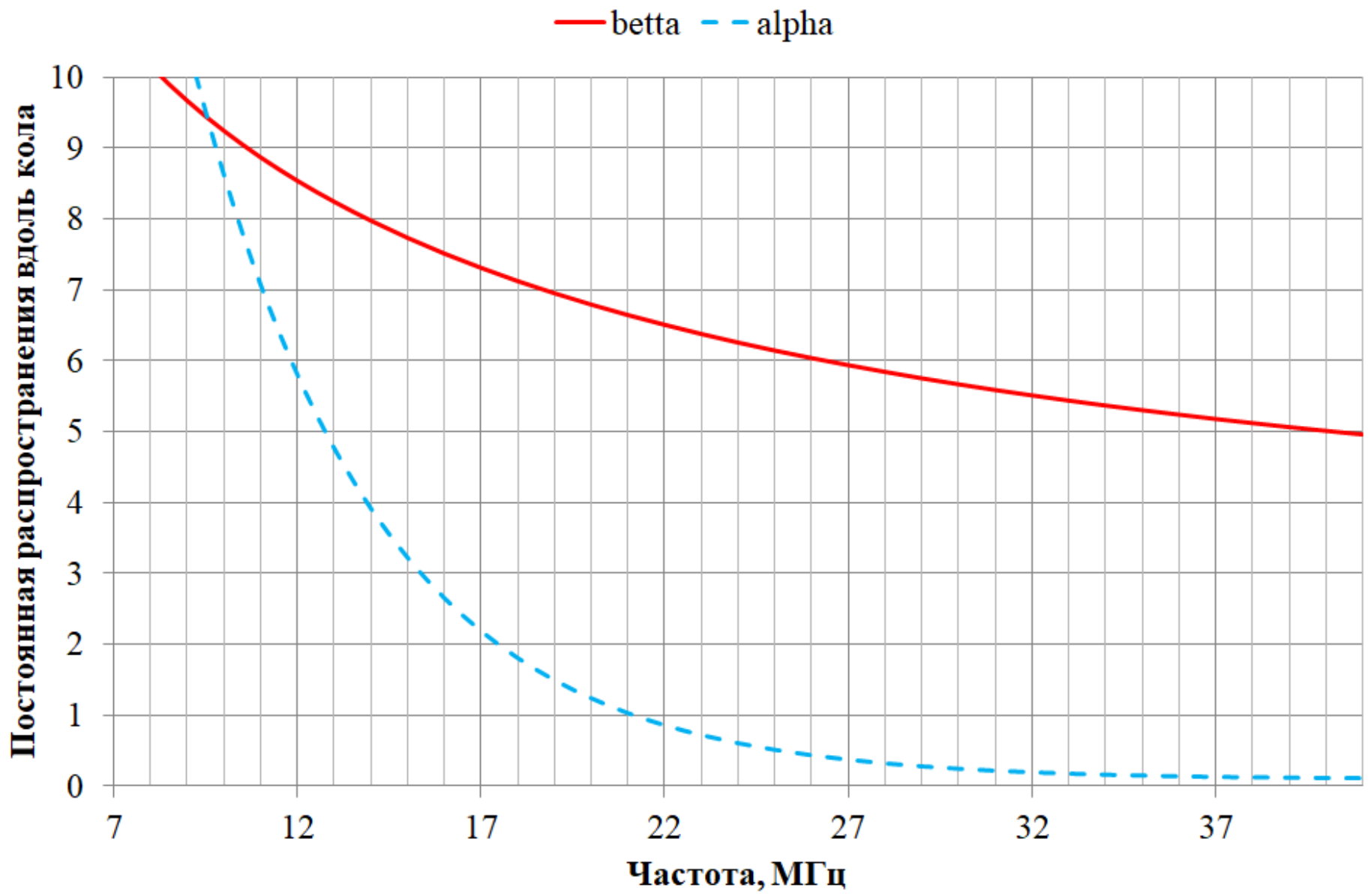


$Z = W_{th}(\gamma)$ и измерения заземленной линии



— Мнимая часть импеданса ЭЗ — Действительная часть импеданса ЭЗ ▲ Расчетные значения





БЛАГОДАРЮ
ЗА
ВНИМАНИЕ